



Tabella dei valori di illuminamento (in Lux) misurati sul campo

Stadio "G.TEGHIL" LIGNANO data delle misure 12/10/2020

Totale Proiettori: 88 Alimentazione: 100 % RETE FISSA

			1	2	3	4	5	6	7	8
LATO TELECAMERE	$E_{_V\_A}$ (270°)	1	1405,0	1190,8	1118,6	1041,4	908,8	815,2	681,6	585,0
	$E_{_V\_B}$ (0°-90°-180°)		505,3	539,4	620,1	572,9	513,1	412,3	391,9	358,4
	$E_{_O}$ (Orizzontale)		1179,4	1071,4	1089,2	960,2	821,8	669,6	621,6	608,8
	$E_{_V\_A}$ (270°)	2	1410,0	1329,4	1204,6	1154,8	1060,0	908,4	758,2	591,2
	$E_{_V\_B}$ (0°-90°-180°)		691,7	661,0	683,5	674,5	622,0	580,5	547,6	518,2
	$E_{_O}$ (Orizzontale)		1372,4	1076,4	1041,6	985,8	876,4	801,4	760,2	753,2
	$E_{_V\_A}$ (270°)	3	1408,0	1292,6	1064,8	1024,4	968,8	885,2	733,6	613,0
	$E_{_V\_B}$ (0°-90°-180°)		716,6	696,8	712,4	717,6	719,0	697,6	698,7	658,4
	$E_{_O}$ (Orizzontale)		1397,6	1016,6	926,0	900,2	870,6	829,2	821,6	828,4
	$E_{_V\_A}$ (270°)	4	1418,0	1122,6	912,0	888,6	866,0	815,8	745,0	647,2
	$E_{_V\_B}$ (0°-90°-180°)		756,5	691,5	688,5	708,5	738,8	773,4	793,9	736,3
	$E_{_O}$ (Orizzontale)		1169,2	867,8	780,4	773,2	779,2	797,0	835,4	797,8
	$E_{_V\_A}$ (270°)	5	1177,6	815,4	724,4	735,8	750,2	755,8	657,8	666,8
	$E_{_V\_B}$ (0°-90°-180°)		651,0	629,8	641,5	656,9	707,4	793,6	865,5	749,9
	$E_{_O}$ (Orizzontale)		966,2	685,2	642,2	645,8	683,6	757,0	829,0	756,4
	$E_{_V\_A}$ (270°)	6	714,2	640,2	600,8	644,6	705,2	723,8	730,4	676,0
	$E_{_V\_B}$ (0°-90°-180°)		671,3	638,7	625,1	637,0	694,7	810,7	895,1	782,1
	$E_{_O}$ (Orizzontale)		718,8	616,0	589,0	595,4	644,2	745,8	833,4	748,0
	$E_{_V\_A}$ (270°)	7	1066,2	709,8	620,0	670,8	705,0	731,0	603,0	585,0
	$E_{_V\_B}$ (0°-90°-180°)		706,1	663,8	643,6	648,3	695,1	807,3	896,9	812,1
	$E_{_O}$ (Orizzontale)		968,2	700,4	647,2	639,6	671,4	761,8	852,2	795,4
	$E_{_V\_A}$ (270°)	8	1302,8	903,6	789,0	786,0	793,4	771,8	695,2	588,0
$E_{_V\_B}$ (0°-90°-180°)	783,2		716,5	681,7	664,6	722,0	764,9	847,9	821,3	
$E_{_O}$ (Orizzontale)	1165,4		848,8	791,2	761,0	767,4	787,4	868,2	915,6	
$E_{_V\_A}$ (270°)	9	1385,0	972,4	873,6	908,8	849,0	796,4	705,0	606,2	
$E_{_V\_B}$ (0°-90°-180°)		746,2	709,3	719,5	723,7	721,9	746,6	762,8	775,1	
$E_{_O}$ (Orizzontale)		1337,2	994,8	933,4	911,8	852,2	857,4	870,4	940,6	
$E_{_V\_A}$ (270°)	10	1377,6	1036,6	997,2	986,0	946,8	864,6	745,6	591,8	
$E_{_V\_B}$ (0°-90°-180°)		716,9	668,2	712,3	716,7	663,3	640,1	652,3	599,3	
$E_{_O}$ (Orizzontale)		1331,2	1053,0	1054,0	1007,8	915,6	860,6	871,6	849,4	
$E_{_V\_A}$ (270°)	11	1153,4	952,8	964,6	924,0	934,2	897,4	777,8	598,4	
$E_{_V\_B}$ (0°-90°-180°)		475,9	551,9	622,1	607,0	556,0	493,1	511,5	484,6	
$E_{_O}$ (Orizzontale)		1102,6	1033,2	1086,2	991,4	902,4	799,4	815,0	798,2	

Illuminamento verticale A in direzione delle telecamere fisse: > 800 (1200)

Illum. verticale B in dir. opposta e a +/-90° dalle telecamere fisse: > 500 (800)

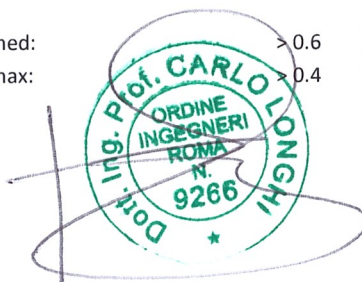
Illuminamento orizzontale:

	max	med	min
$E_{_V\_A}$	1418	880	585
$E_{_V\_B}$	897	674	358
$E_{_O}$	1398	871	589

Uniformità Illuminamento verticale A min/med: > 0,6

Uniformità Illuminamento verticale A min/max: > 0,4

$E_{_V\_A\_min}/E_{_V\_A\_med}$	0,66
$E_{_V\_A\_min}/E_{_V\_A\_max}$	0,41



E\_V Illum. Vert. in lux (h=1 m)

E\_O Illum. Orizz. in lux (h=1 m)

stadio "G. TEGHIL" data 12/10/2020

	LATO TELECAMERE																								
	1	2	3	4	5	6	7	8																	
1	532	322	311	324	328	302	265	235																	
1	<b>1405</b>	<b>1179</b>	<b>1191</b>	<b>1071</b>	423	<b>1119</b>	<b>1089</b>	526	<b>1041</b>	<b>960</b>	522	<b>909</b>	<b>822</b>	450	<b>815</b>	<b>670</b>	331	<b>682</b>	<b>622</b>	310	<b>585</b>	<b>609</b>	245		
	653	873	1024	872	761	604	601	595																	
	667	484	395	383	403	402	368	314																	
2	<b>1410</b>	<b>1372</b>	<b>1329</b>	<b>1076</b>	440	<b>1205</b>	<b>1042</b>	503	<b>1155</b>	<b>986</b>	515	<b>1060</b>	<b>876</b>	464	<b>908</b>	<b>801</b>	427	<b>758</b>	<b>760</b>	372	<b>591</b>	<b>753</b>	298		
	1025	1059	1152	1126	999	912	903	943																	
	591	487	407	419	468	511	481	408																	
3	<b>1408</b>	<b>1398</b>	<b>1293</b>	<b>1017</b>	439	<b>1065</b>	<b>926</b>	490	<b>1024</b>	<b>900</b>	504	<b>969</b>	<b>871</b>	510	<b>885</b>	<b>829</b>	467	<b>734</b>	<b>822</b>	454	<b>613</b>	<b>828</b>	340		
	1151	1164	1239	1230	1180	1115	1162	1227																	
	726	536	473	489	563	648	659	559																	
4	<b>1418</b>	<b>1169</b>	<b>1123</b>	<b>868</b>	413	<b>912</b>	<b>780</b>	440	<b>889</b>	<b>773</b>	455	<b>866</b>	<b>779</b>	478	<b>816</b>	<b>797</b>	491	<b>745</b>	<b>835</b>	446	<b>647</b>	<b>798</b>	348		
	1149	1126	1153	1182	1175	1181	1276	1302																	
	588	580	566	587	675	806	882	772																	
5	<b>1178</b>	<b>966</b>	<b>381</b>	<b>815</b>	<b>685</b>	<b>378</b>	<b>724</b>	<b>642</b>	<b>642</b>	<b>389</b>	<b>736</b>	<b>646</b>	<b>386</b>	<b>750</b>	<b>684</b>	<b>425</b>	<b>756</b>	<b>757</b>	<b>477</b>	<b>658</b>	<b>829</b>	<b>483</b>	<b>667</b>	<b>756</b>	325
	985	931	969	998	1022	1098	1231	1153																	
	846	738	722	732	811	969	1121	1030																	
6	<b>714</b>	<b>719</b>	<b>381</b>	<b>640</b>	<b>616</b>	<b>383</b>	<b>601</b>	<b>589</b>	<b>371</b>	<b>645</b>	<b>595</b>	<b>372</b>	<b>705</b>	<b>644</b>	405	<b>724</b>	<b>746</b>	<b>494</b>	<b>730</b>	<b>833</b>	507	<b>676</b>	<b>748</b>	364	
	786	795	782	807	868	970	1057	952																	
	1094	987	951	946	978	1116	1305	1286																	
7	<b>1066</b>	<b>968</b>	<b>419</b>	<b>710</b>	<b>700</b>	406	<b>620</b>	<b>647</b>	<b>384</b>	<b>671</b>	<b>640</b>	<b>380</b>	<b>705</b>	<b>671</b>	415	<b>731</b>	<b>762</b>	512	<b>603</b>	<b>852</b>	566	<b>585</b>	<b>795</b>	451	
	605	599	596	620	692	793	820	700																	
	1261	1145	1117	1112	1128	1156	1328	1460																	
8	<b>1303</b>	<b>1165</b>	<b>440</b>	<b>904</b>	<b>849</b>	490	<b>789</b>	<b>791</b>	439	<b>786</b>	<b>761</b>	<b>373</b>	<b>793</b>	<b>767</b>	468	<b>772</b>	<b>787</b>	506	<b>695</b>	<b>868</b>	591	<b>588</b>	<b>916</b>	447	
	649	514	489	508	571	633	625	556																	
	1260	1219	1235	1233	1187	1185	1227	1351																	
9	<b>1385</b>	<b>1337</b>	<b>445</b>	<b>972</b>	<b>995</b>	490	<b>874</b>	<b>933</b>	519	<b>909</b>	<b>912</b>	516	<b>849</b>	<b>852</b>	520	<b>796</b>	<b>857</b>	568	<b>705</b>	<b>870</b>	597	<b>606</b>	<b>941</b>	576	
	534	419	404	422	459	487	465	398																	
	1183	1114	1205	1195	1075	1019	1059	1055																	
10	<b>1378</b>	<b>1331</b>	<b>422</b>	<b>1037</b>	<b>1053</b>	504	<b>997</b>	<b>1054</b>	575	<b>986</b>	<b>1008</b>	589	<b>947</b>	<b>916</b>	527	<b>865</b>	<b>861</b>	513	<b>746</b>	<b>872</b>	537	<b>592</b>	<b>849</b>	435	
	546	387	356	366	388	388	361	308																	
	630	864	1010	936	866	770	808	820																	
11	<b>1153</b>	<b>1103</b>	<b>329</b>	<b>953</b>	<b>1033</b>	448	<b>965</b>	<b>1086</b>	565	<b>924</b>	<b>991</b>	585	<b>934</b>	<b>902</b>	493	<b>897</b>	<b>799</b>	408	<b>778</b>	<b>815</b>	454	<b>598</b>	<b>798</b>	397	
	469	343	292	300	309	302	273	238																	

Dott. Ing. Prof. Carlo Longhi

